

## بررسی تأثیر دما و زمان فرایند رختنده‌ی بر مقاومت به سایش و خواص ماده‌ی مرکب \*WC/Cu

حمید خرسند<sup>(۱)</sup>مصطفی امیرجان<sup>(۲)</sup>حسن عبدالوس<sup>(۳)</sup>

### چکیده

در این تحقیق، نمونه‌های ماده‌ی مرکب زمینه مسی با ۵۳ درصد حجمی ذرات تعویت کننده‌ی WC به روش رختنده‌ی تهیه شدند. چگالی و رسانایی الکتریکی نمونه‌های ماده‌ی مرکب تولید شده اندازه‌گیری شدند. افزون بر این، رفتار سایشی ماده‌ی مرکب WC/Cu به روش سوزن بر روی صفحه با استفاده از صفحه‌ی ساینده از جنس SiC مطالعه و بررسی شد. بررسی‌ها نشان دادند که با افزایش دما و زمان رختنده‌ی، چگالی نظری نزدیک‌تر شده و در یک دمای خاص، چگالی با افزایش زمان افزایش می‌یابد. در نیروی عمودی اعمالی حدود ۹ نیوتون، نرخ سایش ماده‌ی مرکب WC/Cu به طور خطی با افزایش فشار اعمالی افزایش یافت. حضور تخلخل به دلیل کاهش سطح تماس مؤثر و ایجاد اثر شیار بر روی سطح ماده‌ی مرکب، باعث افزایش سایش شد.

**واژه‌های کلیدی** ماده‌ی مرکب WC/Cu، رختنده‌ی، سایش.

## The Effect of Temperature and Time of Infiltration Process on the Wear Resistance and Properties of WC/Cu Composite

H. Khorsand

M. Amirjan

H. Abdous

### Abstract

In the present study, copper matrix composite samples with 53 volume percent WC reinforcement particles were produced using the infiltration technique. The density and electrical conductivity of the composite samples produced by this technique were measured. Moreover, the wear behavior of WC/Cu composite was investigated using the pin-on-disk method with an abrasive disk made up of SiC. It was found that the final density approaches the theoretical density with an increase in the temperature and time of the infiltration process, and for a given temperature, the density increases as the time increases. For an applied normal load of 9 N, the wear rate of WC/Cu composite increases linearly with the applied load. The presence of porosity increased the wear rate of the composite due to a decrease in the effective contact surface and induced notch effect on the composite surface.

**Key Words** WC/Cu Composite, Infiltration, Wear.

\* نسخه نخست مقاله در تاریخ ۸۹/۶/۲۷ و نسخه پایانی آن در تاریخ ۸۹/۶/۲۷ به دفتر نشریه رسیده است.

(۱) استادیار، دانشکده مهندسی، دانشگاه صنعتی خواجه نصیرالدین طوسی

(۲) دانشجوی دکتری مهندسی مواد، دانشگاه صنعتی خواجه نصیرالدین طوسی

(۳) عهده‌دار مکاتبات: دانشجوی دکتری مهندسی مکانیک، دانشگاه صنعتی خواجه نصیرالدین طوسی

اصطکاکی پایه فلزی برای موتورهای سرعت بالا و نیز، قطعه‌های خنک‌کننده در سازه‌های توربین گازی و اجزای فعال پلاسمایی در دستگاه‌های قدرت گداخت، استفاده کرد [5,4].

فرایند متداول در ساخت مواد مرکب زمینه مسی از چند مرحله‌ی مخلوط کردن اجزای سازنده، فشردن سرد و تف‌جوشی تشکیل شده است. روش متداول دیگر، استفاده از رخنه‌دهی فاز مایع است که در آن فلز مس به درون یک اسکلت متخلخل نفوذ داده می‌شود [6,5].

سختی فلز، به همراه سختی سطح ساینده، مقاومت آن را در برابر سایش کنترل می‌کنند. بررسی‌ها نشان داده‌اند که کاهش نرخ سایش نسبی به‌ازای افزایش سختی فلز تحت سایش تا ۰/۸ سختی سطح ساینده می‌باشد [7]. پدیده‌ی سایش برای مواد مرکب زمینه فلزی در مقایسه با فلزات خالص، به‌دلیل وجود چند فاز در ریزساختار آنها، متفاوت است. اعتقاد بر این است که در مراحل ابتدایی سایش، ذرات ساینده موجب کندگی در زمینه‌ی فلزی نرم شده و ذرات تقویت کننده را در سطح به صورت برجسته بر جای می‌گذارند.

افزون بر این، مقاومت به سایش مواد مرکب با بهینه‌سازی خواص ذاتی آنها در مراحل طراحی و ساخت نیز می‌تواند کنترل شود. از جمله عوامل مؤثر می‌توان به پارامترهای ساخت اشاره کرد که می‌توانند با تأثیرگذاری بر ریزساختار و خواص مکانیکی نهایی مواد مرکب، رفتار سایشی آنها را نیز تحت تأثیر قرار دهنند. برخی از این عوامل عبارتند از: اندازه و شکل ذرات، کسر حجمی فازهای زمینه و تقویت کننده، فشار شکل‌دهی، دما و زمان عملیات رخنه‌دهی.

تأثیر تخلخل بر رفتار سایشی مواد مرکب کم‌تر مورد توجه قرار گرفته است. در مطالعات محدود انجام شده در این زمینه مشاهده شده است که تخلخل

## مقدمه

مواد مرکب زمینه فلزی موادی هستند که در آن‌ها معمولاً یک فاز سرامیکی برای بهبود خواص درون زمینه‌ی فلزی قرار داده می‌شود. اگرچه بهتر است که این فازها از هم جدا باشند، اما واکنش‌هایی بین آنها اتفاق می‌افتد. لایه‌های الیاف پیوسته، الیاف ناپیوسته، ویسکرها و ذرات با مورفولوژی متفاوت، از جمله تقویت کننده‌هایی هستند که معمولاً در مواد مرکب زمینه‌ی فلزی به کار می‌روند. هر یک از این تقویت کننده‌ها فلز پایه را به شیوه‌ای خاص تحت تأثیر قرار می‌دهند، اما معمولاً یکی از خواص فلز پایه بهبود می‌یابد. از جمله‌ی این خواص می‌توان به استحکام تسليمی، سختی، استحکام کششی، مقاومت به سایش و ضربه انبساط حرارتی اشاره کرد. رسانایی الکتریکی و حرارتی خواصی هستند که به کل ماده وابسته‌اند [1-3].  
متالورژی پودر فرایند تجاری مناسبی برای تولید مواد مرکب ذره‌ای با زمینه‌ی مس است. این فرایند شامل مخلوط کردن پودر، فشردن و تف‌جوشی آن می‌باشد. مواد مرکب زمینه مس با تقویت کننده‌ی کاربید تنگستن، دسته‌ای از مواد مرکب با زمینه‌ی مسی هستند که رسانایی حرارتی و الکتریکی مس و نیز، مقاومت به سایش مکانیکی و سایش جرقه‌ای کاربید تنگستن را برای دستیابی به خواص مطلوب دارند. بنابراین، این مواد مرکب دارای کاربردهایی از جمله اتصالات الکتریکی، رله‌ها و سوییچ‌ها، الکترودهای EDM و نظیر آن خواهند بود. این مواد با اغلب سرامیک‌ها از دیدگاه ضربه انبساط حرارتی سازگاری داشته و بنابراین، می‌توان از آن‌ها به عنوان فروکشنده‌ی حرارت استفاده کرد [4].  
مواد مرکب زمینه مسی با ذرات سرامیکی از مقاومت به سایش و جرقه‌ی بسیار خوب و رسانایی الکتریکی بالایی برخوردارند، بنابراین از آن‌ها می‌توان در کاربردهایی از قبیل الکترودهای جوشکاری، مواد

نمونه‌ها به کمک دستگاه مقاومت‌سنج مجهز به چهار اندازه‌گیر، تعیین شد.

از روش سوزن بر روی صفحه برای بررسی خواص سایشی نمونه‌ها استفاده شد. ابتدا سطح نمونه‌ها سنباده زده شد، و نمونه‌های مکعبی با سطح تماس  $167 \times 167$  سانتی‌متر مربع در معرض صفحه‌ی چرخان با سرعت  $184 \text{ rpm}$  قرار گرفت. صفحه‌ی مورد استفاده، تیغه برش ساینده از جنس  $\text{SiC}$  بود. نیروی اعمالی از  $1/12$  نیوتون تا  $4/27$  نیوتون متغیر بود. برای هر نمونه، مسافت سایش  $500$  متر در نظر گرفته شد. آزمون سایش پس از طی مسافت فوق در هر مرحله متوقف شد و کاهش وزن نمونه پس از تمیزکاری آن به دقت انجام گرفت. حداقل سه آزمون برای هر حالت انجام گرفت و مقدار میانگین به دست آمده برای آن گزارش شد. با تقسیم حجم ماده‌ی ساییده شده بر فاصله‌ی لغزش، نرخ سایش برای هر یک از نمونه‌های ماده‌ی مرکب به دست آمد. حجم ماده‌ی ساییده شده نیز با تقسیم میزان کاهش وزن نمونه بر چگالی آن، محاسبه شد.

## نتایج و بحث

**چگالی.** مورفولوژی پودرهای مورد استفاده در شکل (۱) نشان داده شده است. تغییرات چگالی نمونه‌های تهیه شده در دماها و زمان‌های مختلف در شکل (۲) آمده است. همان‌طور که در این شکل مشاهده می‌شود، چگالی ماده‌ی مرکب با افزایش دما و زمان فرایند افزایش یافته و به چگالی نظری آن نزدیک می‌شود. سهولت انجام فرایند رخنه‌دهی در دماهای بالاتر، دلیل احتمالی این پدیده است. از آنجا که نمونه‌ی  $\text{WC}$  متخلخل است، رسانایی حرارتی کم‌تر و ظرفیت حرارتی بالاتری نسبت به مس دارد. بنابراین، به دما و زمان بالاتری برای پیش‌گیری از انجماد مس قبل از تکمیل شدن عملیات نیاز است. در دماهای پایین‌تر،

می‌تواند تأثیرات زیان‌آوری بر مقاومت به سایش مواد مرکب داشته باشد. بررسی محققان نشان داده است که وقتی نیروهای خارجی به مواد مرکب اعمال می‌شوند، حفره‌ها مانند منابع تشکیل ترک عمل کرده و در نتیجه، نرخ سایش افزایش می‌یابد [۸].

در این تحقیق، نمونه‌هایی از ماده‌ی مرکب  $\text{WC/Cu}$  به روش رخنه‌دهی تهیه شده و تأثیر دما و زمان رخنه‌دهی بر خواص نهایی آنها از جمله چگالی، مقاومت الکتریکی و مقاومت به سایش، مورد مطالعه قرار گرفته است.

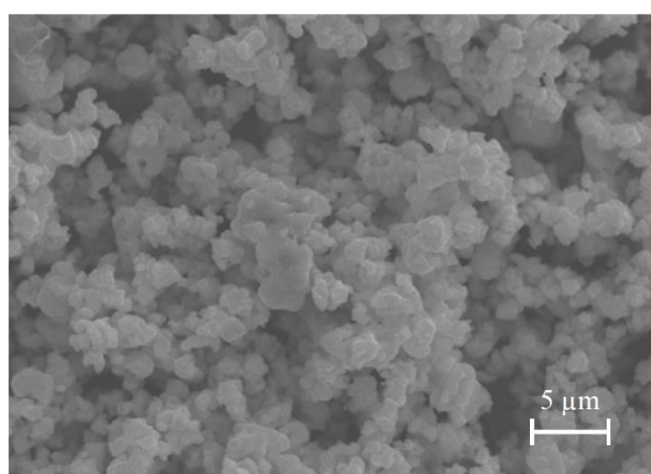
## روش آزمایش

پودر کاربید تنگستن (با درجه خلوص  $99/5\%$  تهیه شده از شرکت Xiamen) با اندازه میانگین ذرات برابر با  $1$  میکرومتر، به منظور ساخت نمونه‌های متخلخل مناسب برای فرایند رخنه‌دهی استفاده شد. پودر مورد نظر پس از اندازه‌گیری وزن، در قالب فولادی استوانه‌ای با فشار  $34/5 \text{ MPa}$  فشرده شد. قطر و ارتفاع نمونه‌های حاصل به ترتیب برابر با  $9/6 \text{ mm}$  و  $3/8 \text{ mm}$  بود، و چگالی آن‌ها  $53$  درصد چگالی نظری ماده‌ی اصلی بود. برای انجام عملیات رخنه‌دهی، از یک قطعه‌ی مسی با درجه خلوص  $99/9\%$  استفاده شد. قطعه‌ی مسی پس از توزین، در بالای نمونه‌های کاربید تنگستن فشرده شده قرار گرفت، و سپس مجموعه درون کوره قرار داده شد. فرایندهای تفجوشی و رخنه‌دهی در کوره‌ای با محیط هیدروژن و در دماهای بین  $1200^{\circ}\text{C}$  تا  $1350^{\circ}\text{C}$  به مدت زمان‌های مختلف انجام شدند.

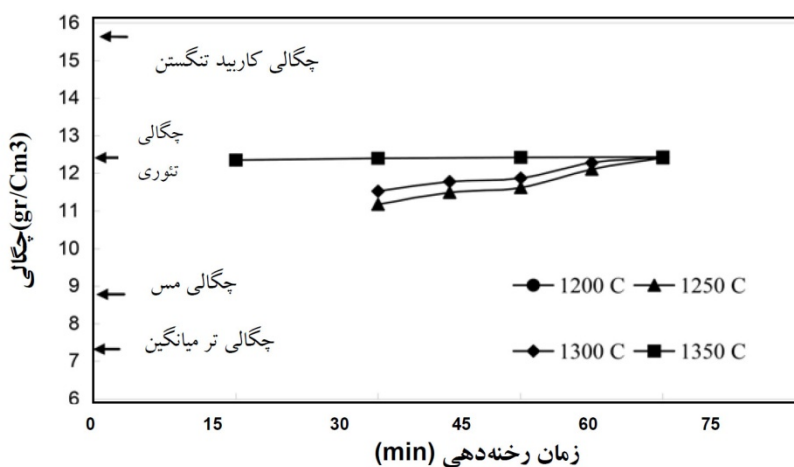
چگالی نمونه‌های به دست آمده بر اساس استاندارد ASTM-B311 و به کمک دستگاه چگالی‌سنج Sartorius اندازه‌گیری شد. برای بررسی‌های ریزساختاری نمونه‌ها، از تصویرهای به دست آمده از میکروسکپ نوری استفاده شد. مقاومت الکتریکی

بیشتری در اختیار داشته و بهاین ترتیب، مذاب مس اجازه می‌یابد تا به درون حفره‌های ریز نفوذ کرده و فرایند رخنه‌دهی را کامل کند. افزون بر این، کاهش ویسکوژیته با افزایش دما در پدیده نفوذ گازهای محبوس تأثیر مفیدی دارد. بنابراین، با افزایش دما زمان عملیات می‌تواند کاهش یابد.

زمان نگهداری بالاتر خواهد بود. در دمای بالاتر رخنه‌دهی، هر دو عامل ویسکوژیته و فوق گداز فلز مس برای وقوع فرایند رخنه‌دهی مناسب بوده، و این منجر به حصول چگالی نهایی نزدیک به چگالی نظری می‌شود. افزایش چگالی در یک دمای معین با افزایش زمان، بهاین دلیل است که هوا و گازهای محبوس در نمونه‌ی متخلخل برای نفوذ و خروج از آن مدت زمان



شکل ۱ مورفولوژی ذرات پودر WC مورد استفاده در این تحقیق



شکل ۲ تغییرات چگالی نمونه‌ها با دما و زمان عملیات

افزایش یافته است. نمونه‌ی WC/Cu با چگالی کامل دارای کمترین نرخ سایش و نمونه‌ی تهیه شده در دمای  $1200^{\circ}\text{C}$  با بیشترین میزان تخلخل (۱۲) درصد، بالاترین نرخ سایش را دارد. نمونه‌های با  $1/5$  و  $7$  درصد تخلخل که در دمای  $1250^{\circ}\text{C}$  تهیه شده‌اند، از نرخ سایش متوسطی برخوردارند.

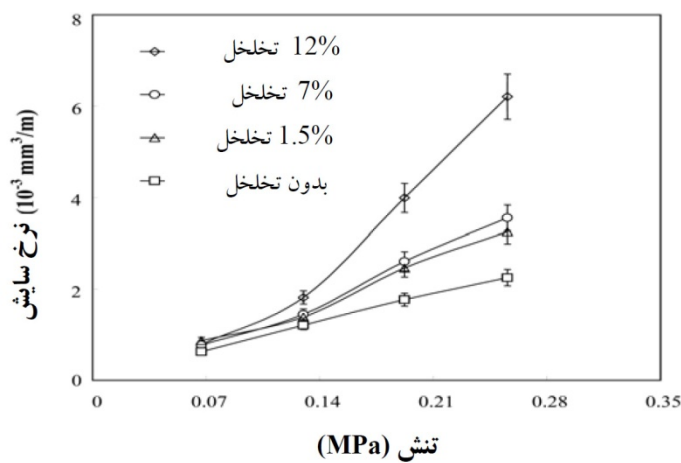
نتایج آزمون در شکل (۴) نشان می‌دهند که تخلخل در نیروهای بالاتر تأثیر بیشتری دارد. در صورت وجود تخلخل در سطح سایش، سطح تماس در معرض سطح ساینده به میزان چشم‌گیری کاهش یافته و بهاین ترتیب، تنفس خالص حاکم بر سایش افزایش می‌یابد. شکل (۵) نرخ سایش را به صورت تابعی از تنفس تماسی مؤثر در طول فرایند سایش نشان می‌دهد. با مقایسه شکل‌های (۴) و (۵)، می‌توان دریافت که با بهکارگیری تنفس سایشی مؤثر نرخ سایش نمونه‌های ماده‌ی مرکب حاوی تخلخل به سمت ماده‌ی مرکب کاملاً چگال تغییر می‌کند، اما به طور کامل بر آن منطبق نمی‌شود. افزون بر این، تخلخل بیشتر نمونه منجر به انحراف بیشتر نرخ سایش آن از نرخ سایش مربوط به ماده‌ی مرکب چگال می‌شود.

**مقاومت الکتریکی.** در جدول (۱)، نتایج مربوط به آزمون تعیین مقاومت الکتریکی نشان داده شده است. مقاومت الکتریکی یک نمونه از ماده‌ی مرکب پس از رخته‌دهی کامل، حدود  $\Omega \cdot \text{cm}^{-6} 3.3 \times 10^6$  و رسانایی حرارتی آن  $52\%$  IACS بود. در جدول (۱)، مقادیر عددی مقاومت الکتریکی نمونه‌های ماده‌ی مرکب WC/Cu برای مقایسه آورده شده است. بررسی مقادیر فوق نشان می‌دهد که اگرچه مقاومت الکتریکی می‌باید با افزایش دما و زمان عملیات به دلیل کاهش میزان تخلخل و افزایش چگالی نهایی، کاهش یابد، ولی در نمونه‌های کاملاً رخته‌دهی شده و با چگالی‌های مختلف نیز تخلخل تأثیر چندانی بر مقاومت الکتریکی نداشته و مقادیر تقریباً یکسانی به دست آمده‌اند. اتصال‌پذیری (connectivity) مس برای تأمین مسیر آسان برای رسانایی الکتریکی، عامل مهم در این زمینه می‌باشد که بر رسانایی و مقاومت الکتریکی تأثیر دارد.

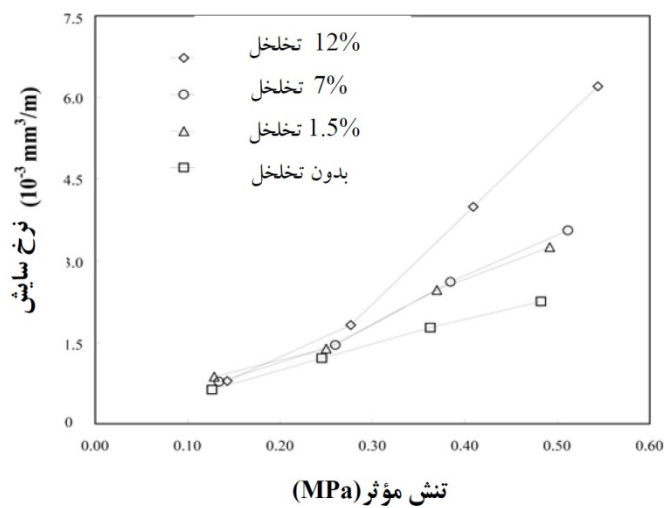
سایش. آزمون سایش برای نمونه‌های ماده‌ی مرکب WC/Cu با میزان‌های مختلف تخلخل، برابر با  $0, 1/5, 1/7$  و  $1/12$  درصد، انجام شد. شکل (۳)، نرخ سایش را در این آزمون و در شرایط مختلف نشان می‌دهد. نرخ سایش همه‌ی نمونه‌ها با افزایش نیروی اعمالی

جدول ۱ مقاومت الکتریکی نمونه‌های ماده‌ی مرکب WC/Cu

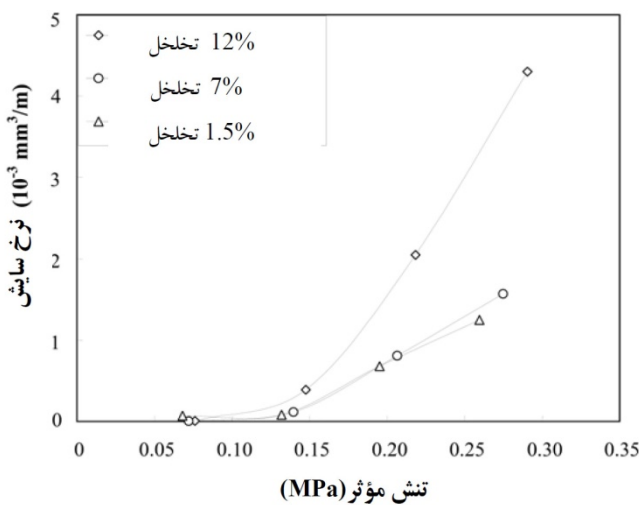
زمان (دقیقه)	دما (درجه سانتی گراد)			
	۱۲۰۰	۱۲۵۰	۱۳۰۰	۱۳۵۰
۱۵	-	-	-	۳/۴
۳۰	-	۳/۴	۳/۳	۳/۳
۴۵	-	۳/۳	۳/۴	۳/۴
۶۰	۳/۳	۳/۴	۳/۵	۳/۳



شکل ۳ تأثیر میزان تخلخل بر نرخ سایش نمونه‌های ماده‌ی مرکب WC/Cu



شکل ۴ تأثیر میزان تخلخل بر نرخ سایش نمونه‌های ماده‌ی مرکب WC/Cu با در نظر گرفتن سطح مؤثر



شکل ۵ تأثیر شیار مربوط به تخلخل بر نرخ سایش نمونه‌های ماده‌ی مرکب WC/Cu

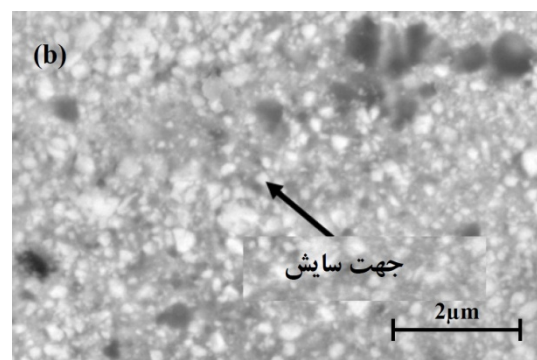
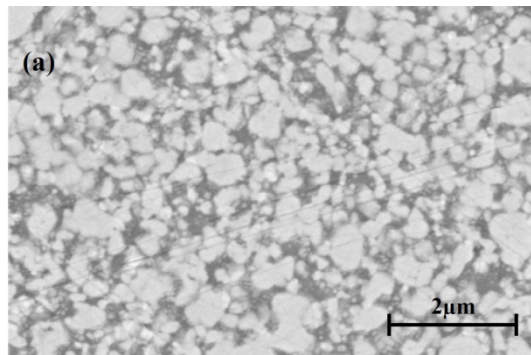
می‌گیرند. در ادامه، این ذرات سخت در سطح ماده در تماس با ذرات SiC ساینده قرار گرفته و به دلیل سختی بسیار نزدیک WC به ذرات SiC از طرف ذرات WC کرنش اعمال شده و در نهایت، کیفیت عمل کرد ذرات ساینده SiC کاهش می‌یابد. این سازوکار باعث کاهش شدید میزان سایش توسط ذرات SiC شده و در نتیجه، نرخ سایش نمونه‌های ماده‌ی مرکب WC/Cu در مقایسه با مس خالص به شدت کاهش می‌یابد.

**مکانیزم سایش.** در مواد مرکب تقویت شده با ذرات سخت، مقاومت به سایش ابتدا از مقاومت به برش ذرات تقویت کننده در برابر تنفس برشی حاصل از سطح ساینده درگیر با آن نتیجه می‌شود. در صورتی که ماده‌ی مرکب کاملاً چگال بوده و استحکام سطحی بین تقویت کننده و زمینه به حدی باشد که از بیرون آمدگی (Pull-out) ذرات از زمینه جلوگیری کند، سایش تقویت کننده نرخ سایش کل ماده را کنترل می‌کند. با افزایش نیروی عمودی بین دو سطح درگیر، اصطکاک که نیروی برشی اعمالی بر سطح تقویت کننده را تولید می‌کند، افزایش می‌یابد. اگر میزان این تنفس برشی به حدی برسد که بر استحکام سطحی بین زمینه و تقویت کننده غلبه کند، بیرون آمدگی تقویت کننده از درون زمینه رخ می‌دهد. ایجاد چنین شرایطی در سایش، نرخ بالاتر سایش را به دنبال دارد. سازوکار سوم برای سایش ماده‌ی مرکب، بر مبنای حضور تخلخل در آن است. حفره‌ها باعث افزایش نیروی عمودی مؤثر سایش اعمالی بر آن‌ها می‌شوند. با فرض توزیع یکنواخت حفره‌ها در ماده‌ی مرکب، تنفس عمودی مؤثر بر سطح سایش افزایش می‌یابد، زیرا نواحی حاوی حفره درون زمینه هیچ نیرویی را تحمل نمی‌کنند.

نرخ سایش بالاتر به دست آمده به دلیل حضور تخلخل، تأثیر سایر مشخصه‌های تخلخل از جمله شکاف را نشان می‌دهد. وجود مرزهای بی‌شکل در اطراف حفره، امکان ایجاد گوشه‌های تیز در نزدیکی سطح سایش در حول آن را فراهم می‌کند. شدت تمرکز تنفس در گوشه‌های تیز بسیار زیاد بوده و بنابراین، با اعمال تنفس فشاری عمودی در آزمون سایش و ایجاد نیروی برشی عرضی در اطراف حفره‌ها، تخلخل به عنوان منبع عمل خواهد کرد [7-9].

Gui و همکاران [10]، این رفتار سایشی را با سایش لغزشی در ماده‌ی مرکب Al-6Cu-Mn/SiC<sub>p</sub> مطالعه کرده‌اند. شدت تمرکز تنفس در گوشه‌ی حفره‌ها با افزایش نیروی عمودی اعمالی افزایش می‌یابد. بنابراین با افزایش نیروی عمودی اعمالی، سطح اطراف حفره نسبت به شکست مستعد می‌شود. به دلیل آن‌که ماده‌ی مرکب چگال رفتار معمول سایشی را از خود نشان می‌دهد، تأثیر شیار مربوط به تخلخل را می‌توان با نمایش انحراف نرخ سایش در تنفس‌های مختلف نشان داد. شکل ۶ تصویرهای میکروسکوپ نوری از سطح ماده‌ی مرکب و مس خالص را پس از سایش نشان می‌دهد. نرخ سایش مس به‌ازای همه‌ی نیروهای اعمالی، بسیار بالاتر از نمونه‌های WC/Cu می‌باشد. در نیروی اعمالی ۴ نیوتون، نرخ سایش مس به‌مراتب بیشتر از نرخ سایش ماده‌ی مرکب WC/Cu است. در شکل (۶)، سطح پولیش داده شده‌ی صاف با ظاهر خراشیده‌ی نمونه WC/Cu دیده می‌شود که نشان‌دهنده‌ی سازوکار وقوع سایش با تنفس کم می‌باشد. بر اساس این سازوکار، زمینه‌ی نرم مس در مراحل ابتدایی توسط ذرات ساینده SiC از سطح ماده‌ی مرکب کنده شده و به این ترتیب، ذارت تقویت کننده‌ی WC به صورت برجسته در سطح قرار

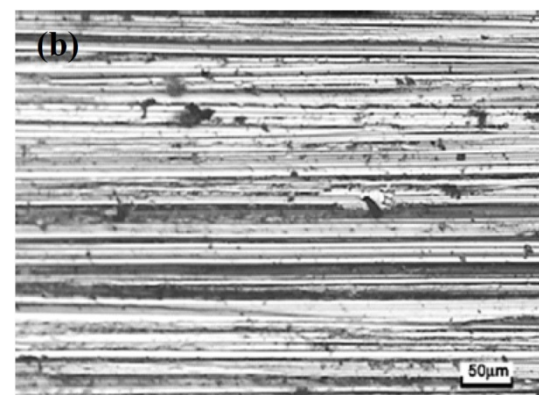
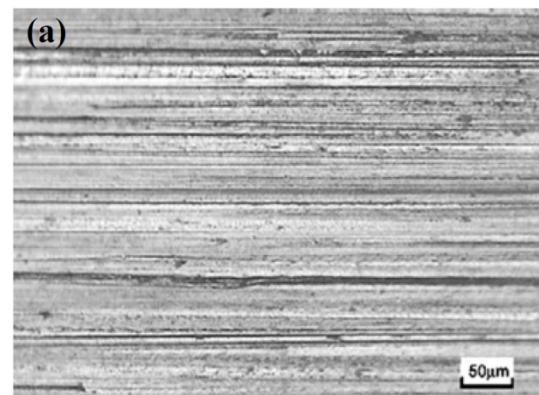
رفتار، تمايل بيشتر ذرات درشت‌تر به ايجاد ريزترک‌ها مي‌باشد، كه نتيجه‌ی مستقيم آن افزایش نرخ سایش است [10-12].



شكل ۷ تصویر میکروسکپ الکترونی از ماده‌ی مرکب WC/Cu؛ (a): قبل از سایش، (b): بعد از سایش. بیرون آمدگی ذرات به خوبی در تصویرها قابل تشخیص است. پیکان نشان داده شده در شکل b، جهت سایش را مشخص می‌کند.

- ۱- با افزایش دما و زمان رخنده‌دهی، چگالی نهايی ماده‌ی مرکب به چگالی توری آن نزديک‌تر شده و در يك دمای خاص، چگالی با افزایش زمان افزایش يافت.
- ۲- در نيروي عمودي اعمالي حدود ۹ نيوتن، نرخ

در تصویرهای SEM از سطح سایش، بیرون آمدگی تقویت کننده از سطح ماده‌ی مرکب در فرایند سایش قابل مشاهده است. در شکل (۷)، سطح سایش قبل و بعد از آزمون سایش نشان داده شده است. جهت سایش در شکل (۷-b) مشخص شده است. نواحي تيره در شکل (۷-b) حفره‌هایی هستند که پس از بیرون آمدگی ذرات از سطح ايجاد شده‌اند.



شكل ۶ تصویر میکروسکپ نوري از سطح ماده‌ی مرکب WC/Cu کاملاً چگال (a) و مس خالص (b)؛ شرایط آزمون سایش: نيروي اعمالي ۲۷/۴ نيوتن و مسافت لغزش ۵۰۰ متر

اندازه‌ی ذرات تقویت کننده از جمله عواملی مي‌باشد که بر نرخ سایش مؤثر است. با افزایش اندازه‌ی ذرات، نرخ سایش افزایش می‌يابد. دليل اين

- ساپايش ماده‌ي مرکب WC/Cu به طور خطی با افزایش سایش شد.
- ۴- افزون بر سایش ساینده، بیرون آمدگی ذرات از زمینه سازوکار غالب در فرایند سایش بود.
- ۳- حضور تخلخل به دلیل کاهش سطح تماس مؤثر و ایجاد اثر شیار بر روی سطح ماده‌ي مرکب، باعث

### مراجع

1. Mortensen A., "Solidification of Metal Matrix Composites", P. Rohatgi (ed), TMS, pp. 1, (1990).
2. Mortensen A., Cornie J.A., "On the Infiltration of Metal Matrix Composites", *Met. Trans.*, 18(A), pp. 1160-1163, (1987).
3. Gusmano G., Bianco A., Polini R., "Chemical Synthesis and Sintering Behavior of Highly Dispersed W/Cu Composite Powders", *J. of Mat. Sci.* 36, pp. 901-907, (2001).
4. Wang W.F., "Effect of Particle Size and Copper Content on W-Cu Electrodes", *Powder Met.*, 40(4), pp. 295-300, (1997).
5. Johnson J. L., German R. M., "Chemically Activated Liquid Phase Sintering of Tungsten-Copper", *The Int. J. of Powder Met.*, 30(1), pp. 91-102, (1994).
6. German R.M. , Johnson J. L., "Effect of Processing Variables on the Properties of Liquid Phase Sintered Tungsten-Copper Composites", *Adv. in Powder Met.*, 1, pp. 391-405, (1991).
7. Richardson R., "The Wear of Metals by Relatively Soft Abrasives", *Wear*, 11, pp. 245-275, (1968).
8. Sahin Y., "Preparation and Some Properties of SiCp-Reinforced Aluminum Alloy Composites", *Materials and Design*, 24, pp. 671-679, (2003).
9. Yilmaz O., Buytoz S., "Abrasive Wear of Al<sub>2</sub>O<sub>3</sub>-Reinforced Aluminum-Based MMCs", *Comp. Sci. and Tech.*, 61, pp. 2381-2392, (2001).
10. Wang G., Shi P., Qi M., Xu J. J., Chen F. X., Yang D. Z., "Dry Sliding Wear of a Ti<sub>50</sub>Ni<sub>25</sub>Cu<sub>25</sub> Particulate Reinforced Aluminum Matrix Composite", *Meta. and Mat. Trans. A*, 29(A), pp. 1741, (1998).
11. Tjong S. C., Lau K. C., "Properties and Abrasive Wear of TiB<sub>2</sub>/Al-4%Cu Composites Produced by Hot Isostatic Pressing", *Comp. Sci. and Tech.*, 59, pp. 2005-2013, (1999).
12. Yih P., Chung D. D. L., "Titanium Diboride Copper-Matrix Composites", *J. of Mat. Sci.*, 32, pp. 1703-1709, (1997).

